



(12)发明专利申请

(10)申请公布号 CN 107880130 A

(43)申请公布日 2018.04.06

(21)申请号 201711358747.4

C12N 15/85(2006.01)

(22)申请日 2017.12.17

C12N 5/10(2006.01)

(71)申请人 深圳市国创纳米抗体技术有限公司
地址 518057 广东省深圳市南山区粤海街道科丰路2号特发信息港大厦D栋一楼东侧二号

A61K 39/395(2006.01)

A61P 35/00(2006.01)

G01N 33/574(2006.01)

(72)发明人 宋海鹏 于建立 刘原源 李飞
吉一 黄琪 周宇航 王欢
陈晓恒 王崇洋 李婧婵

(74)专利代理机构 北京市众天律师事务所

11478

代理人 李新军

(51)Int.Cl.

C07K 16/30(2006.01)

权利要求书1页 说明书6页

C12N 15/13(2006.01)

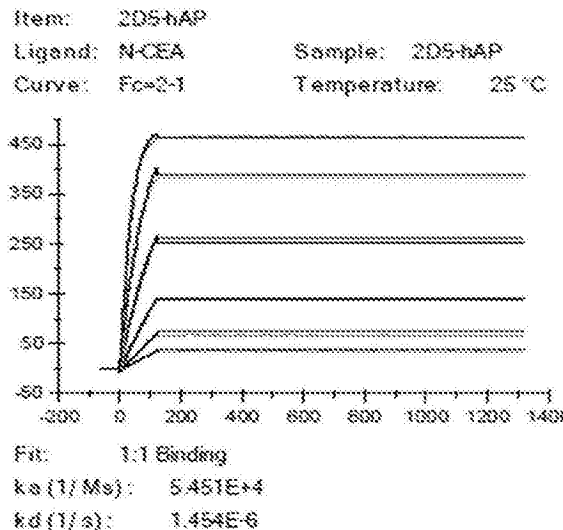
序列表4页 附图6页

(54)发明名称

一种具有高亲和力的抗癌胚抗原纳米抗体及应用

(57)摘要

本发明公开了一种具有高亲和力的抗癌胚抗原纳米抗体，所述纳米抗体具有独特的3个互补决定区CDR1、CDR2、CDR3，本发明还公开了所述纳米抗体在肿瘤治疗药物和肿瘤检测试剂中的应用。本发明提供的抗CEA的纳米抗体对CEA抗原具有特异的识别和结合能力，该纳米抗体亲和力可达到 10^{-11} ，且与七种癌胚抗原相似物均没有结合反应；在对血清样品的CEA抗原的检测中，灵敏度可达1ng/ml，显示出本发明提供的纳米抗体具有高度的特异性和灵敏度。



1. 一种具有高亲和力的抗癌胚抗原纳米抗体，所述纳米抗体的可变区具有3个互补决定区CDR1、CDR2、CDR3，其中，CDR1序列由SEQ ID NO.1所述氨基酸序列组成，CDR2序列由SEQ ID NO.2所述氨基酸序列组成，CDR3序列由SEQ ID NO.3所述氨基酸序列组成。
2. 根据权利要求1所述的纳米抗体，其特征在于，所述纳米抗体的可变区序列由SEQ ID NO.4所述氨基酸序列组成。
3. 根据权利要求2所述的纳米抗体，其特征在于，所述纳米抗体还具有化学发光结合作用区序列，所述纳米抗体的化学发光区序列由SEQ ID NO.5所述氨基酸序列组成。
4. 一种编码权利要求3所述纳米抗体序列的核苷酸编码序列，所述编码序列由SEQ ID NO.6所示。
5. 一种含有权利要求4所述的核苷酸编码序列的表达载体。
6. 根据权利要求5所述的载体，其特征在于，所述载体为pcDNA3.1 (+)。
7. 一种含有权利要求6所述表达载体的宿主细胞系。
8. 根据权利要求7所述的宿主细胞，其特征在于，所述细胞为转染腺病毒E1A基因的人肾上皮细胞系。
9. 权利要求1或2所述的纳米抗体在制备肿瘤治疗药物中的应用。
10. 权利要求1-3任一所述的纳米抗体在制备肿瘤检测试剂中的应用。

一种具有高亲和力的抗癌胚抗原纳米抗体及应用

技术领域

[0001] 本发明涉及一种抗体,更具体地,本发明涉及一种纳米抗体。

背景技术

[0002] 癌胚抗原(CEA,又称为CEACAM-5或CD66e)是一种具有约180kDa分子量的糖蛋白。CEA是免疫球蛋白超家族的一名成员,并且含有经由糖基磷脂酰肌醇(GPI)锚与细胞膜连接的7个域。7个域包括单一N端Ig可变域和与Ig恒定域同源的6个域(A1-B1-A2-B2-A3-B3)。CEA最初分类为仅在胎儿组织中表达的蛋白质,现在已经在几种正常成年组织中鉴定出。CEA的过量表达在许多类型的癌症中观察到,包括结肠直肠癌、胰腺癌、肺癌、胃癌、肝细胞瘤、乳腺癌和甲状腺癌。因此,CEA已经被鉴定为肿瘤相关抗原。CEA容易自细胞表面切割,并直接或经由淋巴系统自肿瘤脱落入血流中。由于此特性,已经使用血清CEA的水平作为临床标志物以诊断癌症并筛选癌症。而且,CEA也已被用作肿瘤标记,测量癌症患者血液中升高的CEA的免疫学测定法已在临幊上用于癌症的预后和控制。

[0003] 更重要的是,CEA已成为用于靶向治疗的潜在有用的肿瘤相关抗原。已经报道的使用CEA靶向免疫治疗癌症主要有2种主要方法。一种方法使用抗CEA抗体引发免疫细胞的溶解活性,特别是通过抗体依赖性细胞毒性(ADCC)或补体依赖性细胞毒性(CDC),以消除表达CEA的肿瘤细胞。另一种方法是通过抗CEA抗体或抗体片段与例如药物、毒素、放射性核苷酸、免疫调节剂或细胞因子等效应分子缀合,特异性靶向表达CEA的肿瘤细胞,从而发挥效应分子的治疗作用。

[0004] 目前已经针对CEA生成多种单克隆抗体。Chester等已经自噬菌体展示文库分离出单链抗CEA抗体以在放射性免疫检测和放射性免疫疗法中使用(美国专利No.5,876,691),随后将抗体人源化(美国专利No.7,232,888)。放射性标记的抗CEA抗体已经在结肠直肠癌患者的临幊试验中使用。

[0005] 1993年,Hamers-Casterman等研究发现,在骆驼科动物(骆驼,单峰骆驼和美洲驼)的体内发现了一类仅有重链二聚体抗体H₂,其主要是IgG2和IgG3类型。此类抗体由于缺乏轻链,于是将这种抗体称为仅有重链的抗体(Heavy Chain only like Antibody,HCabs),而它们的抗原结合部位由一个结构域组成,称为VHH区,因此该类抗体也被称为单结构域抗体或者单域抗体(sdAb)。由于该类抗体为去除恒定区后的可变区序列,分子量只有15kD,大约10纳米的直径,因此也被称为纳米抗体(Nbs)。另外,在鲨鱼中也观察到这类单结构域抗体,称为VNAR。这种仅有重链的抗体原来只是作为一种人类B细胞增生性疾病(重链病)的病理形式被人们所认识,这种仅有重链的抗体可能是由于基因组水平的突变和缺失而导致重链CH1结构域不能表达,使得表达出的重链缺乏CH1,从而缺乏与轻链的结合能力,从而形成一种重链二聚体。

[0006] 相对于常规的四链抗体的scFv而言,纳米抗体在亲和力方面与其对应的scFv相当,但在可溶性、稳定性、对聚集的抗性、可重折叠性、表达产率以及DNA操作、文库构建和3-D结构测定的容易性方面超越scFv。

[0007] 纳米抗体有来源于成年骆驼体内HCAbs的最小的功能性抗原结合片段,具有高度稳定性和与抗原结合的高亲合力,能与蛋白裂隙和酶活性位点的相互作用,使之作用类似于抑制剂。因此,纳米抗体可以为从肽模拟药物设计小分子酶抑制物提供新的思路。由于仅有重链,纳米抗体的制造较mAb容易。纳米抗体的独特性质,如处于极端温度和pH环境中的稳定性,可以低成本制造大产量。因此,纳米抗体在疾病的治疗和诊断中具有很大的价值,在肿瘤的抗体靶向诊断和治疗中也具有很大的发展前景。

[0008] 鉴于CEA更多地过量表达于一些诸如结肠直肠癌、胰腺癌、肺癌、胃癌、肝细胞瘤、乳腺癌和甲状腺癌等实体肿瘤中,因此研发抗CEA的纳米抗体,充分发挥纳米抗体超强的抗原识别能力,特别是识别一些隐匿于裂隙或空腔里的抗原决定簇成为抗体技术领域的一种新的需求。但是鉴于纳米抗体分子过低而存在的一些诸如亲和力低、易于集聚、血清半衰期短等结构缺陷却阻碍着纳米抗体的进一步应用。本发明的目的就是提供一种能够充分发挥纳米抗体的优越性能,又能克服其固有缺陷的抗CEA的纳米抗体,并以其高特异性的特点进一步发挥其在人体样本的CEA检测和在制药学领域中的应用。

发明内容

[0009] 基于上述发明目的,本发明首先提供了一种抗癌胚抗原的纳米抗体,所述纳米抗体的可变区具有3个互补决定区CDR1、CDR2、CDR3,其中,CDR1序列由SEQ ID NO.1所述氨基酸序列组成,CDR2序列由SEQ ID NO.2所述氨基酸序列组成,CDR3序列由SEQ ID NO.3所述氨基酸序列组成。

[0010] 在一个优选的技术方案中,所述纳米抗体的可变区序列由SEQ ID NO.4所述氨基酸序列组成。

[0011] 在一个更为优选的技术方案中,所述纳米抗体还具有化学发光作用区,所述纳米抗体的化学发光作用区序列由SEQ ID NO.5所述氨基酸序列组成。

[0012] 第二,本发明还提供了一种编码权利要求3所述纳米抗体序列的核苷酸编码序列,所述编码序列由SEQ ID NO.6所示。

[0013] 第三,本发明提供了一种含有上述核苷酸编码序列的表达载体。

[0014] 在一个优选的技术方案中,所述载体为pcDNA3.1(+)。

[0015] 第四,本发明提供了一种含有上述表达载体的宿主细胞系。

[0016] 在一个优选的技术方案中,所述细胞为转染腺病毒E1A基因的人肾上皮细胞系(293细胞系)。

[0017] 第五,本发明提供了上述的纳米抗体在制备肿瘤治疗药物中的应用。

[0018] 最后,本发明还提供了上述的纳米抗体在制备肿瘤检测试剂中的应用。

[0019] 本发明提供的抗CEA的纳米抗体,由于具有独特的CDR1-3区序列,使所述抗体对CEA抗原具有特异的识别和结合能力,该纳米抗体亲和力可达到 10^{-11} ,且与七种癌胚抗原相似物均没有结合反应;在对血清样品的CEA抗原的检测中,灵敏度可达1ng/ml,表现出高度的特异性和灵敏度,显示出在制备肿瘤治疗药物和肿瘤诊断试剂中的优越应用前景。

附图说明

[0020] 图1.提取的总RNA电泳鉴定图;

- [0021] 图2.第一轮PCR扩增抗体可变区基因电泳鉴定图；
- [0022] 图3.第二轮PCR扩增抗体可变区基因电泳鉴定图；
- [0023] 图4.pMES4载体双酶切反应产物电泳鉴定图；
- [0024] 图5.菌落PCR鉴定转化子电泳鉴定图；
- [0025] 图6.纳米抗体2D5-HAP纯化SDS-PAGE鉴定图；
- [0026] 图7.纳米抗体2D5-HAP亲和力测试曲线图；
- [0027] 图8.纳米抗体2D5特异性结合曲线图；
- [0028] 图9.纳米抗体2D5-HAP检测阳性临床血清结果图。

具体实施方式

[0029] 下面结合具体实施例来进一步描述本发明，本发明的优点和特点将会随着描述而更为清楚。但这些实施例仅是范例性的，并不对本发明的保护范围构成任何限制。

[0030] 实施例1.抗CEA纳米抗体噬菌体展示文库的构建及筛选

[0031] 1.1羊驼的免疫:选取健康成年羊驼一只羊，将重组蛋白CEA与弗氏佐剂按1:1的比例混匀，按6-7 μ g/Kg采用背部皮下多点注射的方式免疫羊驼，共免疫四次，免疫间隔为2周。之后采集羊驼外周血，用于构建噬菌体展示文库。

[0032] 1.2驼源淋巴细胞的分离:按照本技术领域常规程序从采集的驼源抗凝全血中分析淋巴细胞，每 2.5×10^7 个活细胞加入1mL RNA分离试剂，取1mL进行RNA提取，-80℃保存。

[0033] 1.3总RNA提取:按照本技术领域常规程序提取总RNA，用RNase-free水调整浓度到1 μ g/ μ L(总RNA电泳鉴定结果见图1)。

[0034] 1.4反转录合成cDNA:

[0035] 根据逆转录试剂盒说明书(Roche公司的transcripor first stand cDNA synthesis KIT)以1.3步骤获得的RNA为模板进行逆转录cDNA

[0036] 1.5抗体可变区基因扩增:将反转录得到的cDNA作为模版进行PCR反应。扩增共进行两轮，第一轮PCR的引物序列如下：

[0037] CALL001:GTCCTGGCTGCTCTTCTACAAGG

[0038] CALL002:GGTACGTGCTGTTGAAGTGTCC

[0039] PCR反应条件及程序为:95℃5分钟;95℃30秒,57℃30秒,72℃30秒,30个循环;72℃7分钟。

[0040] 使用琼脂糖凝胶回收试剂盒胶回收700bp左右的条带，最终用水调整核酸浓度至5ng/ μ l(第一轮PCR产物鉴定见图2)。

[0041] 第二轮PCR的引物序列如下：

[0042] VHH-B:GATGTGCAGCTGCAGGAGTCTGGRRGGAGG

[0043] VHH-F:CTAGTGCAGGCCGCTGGAGACGGTGACCTGGGT

[0044] PCR反应条件及程序为:95℃5分钟;95℃30秒,55℃30秒,72℃30秒,15个循环;72℃7分钟。

[0045] 使用PCR产物回收试剂盒纯化PCR产物(第二轮PCR产物鉴定见图3)。

[0046] 1.6载体构建

[0047] 将pMES4载体与第二次PCR产物分别进行PstI、BstEII双酶切，取1.5 μ g酶切后载体

和450ng酶切后的第二次PCR产物,加15μL T4DNA连接酶,补充缓冲液和水至150μL总体积,16℃过夜连接并回收连接产物。使用PCR产物回收试剂盒进行产物回收,20μL水洗脱。图4为pMES4载体双酶切反应产物电泳鉴定图。

[0048] 1.7电转化及库容测定

[0049] 取10μL纯化后的连接产物,加入到含有50μL大肠杆菌TG1感受态细胞的预冷电转杯中置入电转仪(美国BTX的ECM630电转仪)进行电转化,取出电转杯,复苏并培养转化子。随机挑选24个克隆,进行菌落PCR鉴定(电泳鉴定见图5)。根据PCR阳性率推算库容(库容量=克隆数×稀释倍数×[阳性率]PCR鉴定×10)。

[0050] 引物序列如下:

[0051] MP57:TTATGCTTCCGGCTCGTATG

[0052] GIII:CCACAGACAGCCCTCATAG

[0053] 1.8噬菌体扩增

[0054] 取复苏的菌液接种至YT-AG培养基中,37℃200rpm培养到培养物OD₆₀₀=0.5。取出10ml菌液加入4×10¹⁰VCSM13,37℃静止感染30分钟。4000rpm,常温离心10分钟,去净上清。用2×YT-AK(含氨苄青霉素和卡那霉素)培养基重悬菌体,37℃200rpm培养过夜。离心取上清40ml管中,加入10ml PEG/NaCl(20%/2.5M)溶液充分混合,离心弃上清,沉淀用1ml冰PBS洗涤离心,取上清250μl预冷的PEG/NaCl,充分混匀并洗涤重悬。

[0055] 测定噬菌体滴度:将TG1培养至OD₆₀₀=0.4,用LB培养基梯度稀释噬菌体,取倍比稀释的噬菌体TG1培养物混合培养,次日观察培养板中噬菌斑形成情况,对噬菌斑数在30~300的稀释梯度平板进行计数并按照下列公式计算噬菌体滴度(pfu)。

[0056] 噬菌体滴度(pfu/ml)=稀释倍数×噬菌斑数目×100

[0057] 1.9纳米抗体筛选

[0058] 通过ELISA方法以重组CEA抗原筛选阳性克隆。以重组CEA抗原包被ELISA板,5%BSA封闭,PBST洗涤。每孔加入100μl噬菌体上清液,37℃放置1小时。弃上清,加入HRP标记的小鼠抗M13的二抗,37℃放置1小时。弃上清,加入TMB溶液,室温孵育5分钟,每孔加入2M硫酸终止液,用酶标仪450nm读数。

[0059] 通过羊驼免疫、细胞分离、噬菌体文库的构建、纳米抗体的筛选,共筛选出多株抗CEA的纳米抗体。用Vector NTI软件对测序结果进行分析,登录IMGT(http://www.imgt.org/IMGT_vquest),对抗体轻链和重链基因进行分析,以确定可变区的框架区(framework regions,FR)和互补决定区(complementarity determining regions,CDR)。

[0060] 纳米抗体2D5可变区氨基酸序列为SEQ ID NO.4所示,其中第1~20位氨基酸序列为FR1,第21~30位氨基酸序列为CDR1,第31~44位氨基酸序列为FR2,第45~61位氨基酸序列为CDR2,第62~93位氨基酸序列为FR3,第94~110位氨基酸序列为CDR3,第111~115位氨基酸序列为FR4。

[0061] 实施例2.转染腺病毒E1A基因的人肾上皮细胞系表达融合纳米抗体2D5-HAP

[0062] 以人碱性磷酸酶的结合位点序列作为化学发光区氨基酸序列(SEQ ID NO.5所示),使之通过柔性多肽与2D5纳米抗体相融合成为带有化学发光区序列的纳米抗体,合成该融合蛋白的核苷酸编码序列(SEQ ID NO.6所示),在所述核苷酸编码序列的两个末端添加有HindⅢ和EcoRI两个酶切位点,以该两个酶切位点连接到载体pcDNA3.1(+)上。无内毒

素大提质粒后利用状态处于对数生长的293细胞进行转染。获得转染的细胞培养至36小时后将细胞培养液倒入50ml离心管中,12000g离心5分钟,收集上清,用0.22um滤膜过滤,利用阴离子交换层析对培养上清进行纯化。图6为SDS-PAGE检测2D5-HAP纯化效果。

[0063] 实施例3.2D5-HAP与CEA抗原的亲和活性

[0064] 3.1芯片抗原偶联

[0065] 将抗原用不同pH的醋酸钠缓冲液(pH 5.5,pH 5.0,pH 4.5,pH 4.0)配制成20 μ g/mL的工作液,同时准备50mM的NaOH再生溶液,利用Biacore T100蛋白相互作用分析系统仪器中的模板方法对不同pH条件的抗原与芯片(GE公司)表面之间的静电结合进行分析,以信号增加的量达到5倍RL为标准,选择合适的最偏中性的pH体系并根据需要调整抗原浓度作为偶联时的条件。按照仪器中自带的模板方法对芯片进行偶联:其中1通道选择空白偶联模式,2通道选择Target偶联模式,目标设置为设计好的理论偶联量。偶联过程大概耗时60分钟。

[0066] 3.2分析物浓度设置条件探索及再生条件优化

[0067] 采取手动进样模式,选择1,2通道2-1模式进样,流速设置为30 μ L/分钟。进样条件均为120秒,30 μ L/分钟。再生条件均为30秒,30 μ L/分钟。首先持续空走运行缓冲液直至所有基线均稳定。准备浓度跨度较大的纳米抗体溶液,以运行缓冲液配置,建议设置200 μ g/mL,150 μ g/mL,100 μ g/mL,50 μ g/mL,20 μ g/mL,10 μ g/mL,2 μ g/mL。准备再生溶液,选择谷氨酸盐酸体系四个pH梯度的再生溶液:1.5,2.0,2.5,3.0。手动进样200 μ g/mL分析物样品,观察2通道,从最偏中性pH的再生缓冲液进行再生,直至2通道再生后的响应线回到与基线同一高度。再手动进样一次200 μ g/mL分析物样品,观察2-1通道的信号变化并记录结合量,用上一步中最后使响应线回到基线的再生溶液进行再生后,再次收手动进样200 μ g/mL分析物样品,观察2-1通道的信号变化并记录结合量与刚才的结合量数值对比,若偏差小于5%,即认为此pH的再生溶液为最佳的再生溶液,若再次进样的结合量偏低,则继续以更低pH的再生缓冲液进行实验。以选择的最佳再生溶液,作为每次进样后的芯片表面再生试剂。分别进样上面设置的分析物浓度样品,并对每个浓度的结合量进行分析,最终确定亲和力测试所需的浓度梯度。

[0068] 3.3亲和力测试

[0069] 按优化好的样品浓度梯度,再生溶液,使用仪器自带的模板方法(其中设置进样条件为60秒,30 μ L/分钟;解离时间:600秒;再生条件:30秒,30 μ L/分钟)对纳米抗体及抗原之间的亲和力进行测试。随时观察2-1通道的信号情况。亲和力测试过程大概耗时200分钟。

[0070] 3.4结果分析

[0071] 选择合适的浓度梯度的结合解离曲线采用1:1 binding的模式对所有曲线进行拟合,最终得到亲和力数值及结合常数和解离常数等重要参数(见图7)。筛选的抗CEA纳米抗体2D5-HAP亲和力达到10⁻¹¹的数量级,高于作为对照的其他纳米抗体及带有化学发光区序列的VHH-CEA 3两个数量级,表1中的VHH-CEA 1、2和3为CN106749667A所公开的抗CEA的纳米抗体。

[0072] 表1抗CEA纳米抗体亲和力检测结果

样品编号	亲和力
VHH-CEA 1	2.40E-09
VHH-CEA 2	3.20E-09
VHH-CEA 3	1.99E-09
VHH-CEA 3-HAP	2.13E-09
VHH-CEA-2D5-HAP	2.67E-11

[0073] [0075] 高度的抗原特异性,显示了2D5在制备肿瘤治疗药物和肿瘤诊断试剂中具有良好的应用前景。

[0076] 实施例4.纳米抗体结合癌胚抗原的特异性对照研究

[0077] 将2D5与VHH-CEA2 (CN106749667A所公开)连接至带有恒定区的载体上,经过293细胞表达与纯化后,利用Biacore T100蛋白相互作用分析系统仪器对比2D5与其他纳米抗体对七种癌胚抗原干扰物质的相互作用及影响。通过Protein A捕获抗体,分别进样CEACAM5、CEACAM1、CEACAM3、CEACAM6、CEACAM8、AFP、HE4及CA125八种抗原,所有抗原的浓度均为100μg/ml,通过结合与解离曲线图(见图8)可以得出以下结论:2D5的特异性较强,与抗原CEACAM5的结合达到了53.3,而与其他七种干扰物质均没有任何结合,而VHH-CEA2对CEACAM1、CEACAM3和CEACAM5都有一定的结合,验证了2D5纳米抗体突出的特异性。

[0078] 实施例5.2D5-HAP在检测临床样品血清中的CEA含量中的应用

[0079] 经过筛选配对,选取VHH-CEA 1为捕获一抗,2D5-HAP为酶标二抗进行双抗体夹心免疫法检测血清标本中的CEA抗原,获得了优异的检测效果,具体过程如下:

[0080] 使用无菌CBS稀释融合纳米抗体VHH-CEA 1 (CN106749667A所公开)至终浓度为10μg/ml;按照每孔100μl加入96孔酶标板中,4℃静置18h;弃上清后,每孔加入300μL洗涤液,水平震动3分钟,吸弃上清;重复洗板四次。每孔加入200μl 1%BSA,于37℃静置1h。重复洗板四次;每孔中加入50μL阳性对照、阴性对照或者待测样本;随即每孔加入50μL新鲜稀释的酶标二抗(即纳米抗体2D5-HAP,稀释至工作浓度为2μg/ml),置于摇床上摇动3~5秒;37℃下温育1小时。重复洗板四次;每孔加入100μL AP化学发光显色液(BM Chemiluminescence ELISA Substrate),在摇床上摇动3~5秒;室温避光孵育10分钟;选择酶标仪程序Luminescence,测定各孔的Lum值并计算质控血清的CEA值。图9为血清样本以及标准阳性对照、阴性对照的检测结果,阳性血清样本均检测为阳性,没有漏检情况,图中横坐标代表CEA标准品的浓度(ng/ml),结果得出阳性血清CEA含量的平均值为48ng/ml。且2D5-HAP与VHH-CEA 1配对检测CEA样本血清呈现良好的线性曲线,检测CEA的灵敏度可达1ng/ml。

序列表

<110> 深圳市国创纳米抗体技术有限公司

<120> 一种具有高亲和力的抗癌胚抗原纳米抗体及应用

<160> 6

<170> PatentIn version 3.3

<210> 1

<211> 10

<212> PRT

<213> Lama pacos

<400> 1

Gly Arg Thr Phe Ser Ser His Pro Met Gly

1 5 10

<210> 2

<211> 17

<212> PRT

<213> Lama pacos

<400> 2

Gly Ile Ser Trp Ser Gly Gly Ser Thr His Tyr Ala Asp Ser Val Lys

1 5 10 15

Gly

<210> 3

<211> 17

<212> PRT

<213> Lama pacos

<400> 3

Ala Leu Ser Glu Arg Thr Pro Ile Ala Thr Met Pro Ser Gln Tyr Asp

1 5 10 15

Tyr

<210> 4

<211> 115

<212> PRT

<213> Lama pacos

<400> 4

Glu Ser Gly Gly Gly Leu Val Gln Ala Gly Gly Ser Leu Arg Leu Ser

1 5 10 15

Cys Val Ala Ser Gly Arg Thr Phe Ser Ser His Pro Met Gly Trp Phe

20 25 30

Arg Gln Ala Pro Gly Lys Glu Arg Glu Phe Val Ala Gly Ile Ser Trp

35	40	45
Ser Gly Gly Ser Thr His Tyr Ala Asp Ser Val Lys Gly Arg Phe Thr		
50	55	60
Ile Ser Arg Asp Thr Ala Lys Asn Thr Val Tyr Leu Gln Met Asn Ser		
65	70	75
Leu Lys Pro Glu Asp Thr Ala Val Tyr Tyr Cys Asn Ala Ala Leu Ser		
85	90	95
Glu Arg Thr Pro Ile Ala Thr Met Pro Ser Gln Tyr Asp Tyr Trp Gly		
100	105	110
Gln Gly Thr		
115		
<210> 5		
<211> 484		
<212> PRT		
<213> Homo sapiens		
<400> 5		
Ile Ile Pro Val Glu Glu Glu Asn Pro Asp Phe Trp Asn Arg Glu Ala		
1	5	10
15		
Ala Glu Ala Leu Gly Ala Ala Lys Lys Leu Gln Pro Ala Gln Thr Ala		
20	25	30
Ala Lys Asn Leu Ile Ile Phe Leu Gly Asp Gly Met Gly Val Ser Thr		
35	40	45
Val Thr Ala Ala Arg Ile Leu Lys Gly Gln Lys Lys Asp Lys Leu Gly		
50	55	60
55		
Pro Glu Ile Pro Leu Ala Met Asp Arg Phe Pro Tyr Val Ala Leu Ser		
65	70	75
60		
80		
Lys Thr Tyr Asn Val Asp Lys His Val Pro Asp Ser Gly Ala Thr Ala		
85	90	95
80		
Thr Ala Tyr Leu Cys Gly Val Lys Gly Asn Phe Gln Thr Ile Gly Leu		
100	105	110
95		
Ser Ala Ala Ala Arg Phe Asn Gln Cys Asn Thr Thr Arg Gly Asn Glu		
115	120	125
110		
Val Ile Ser Val Met Asn Arg Ala Lys Lys Ala Gly Lys Ser Val Gly		
130	135	140
125		
Val Val Thr Thr Arg Val Gln His Ala Ser Pro Ala Gly Thr Tyr		
145	150	155
140		
160		
Ala His Thr Val Asn Arg Asn Trp Tyr Ser Asp Ala Asp Val Pro Ala		
165	170	175
160		
Ser Ala Arg Gln Glu Gly Cys Gln Asp Ile Ala Thr Gln Leu Ile Ser		

180	185	190
Asn Met Asp Ile Asp Val Ile Leu Gly Gly Gly Arg Lys Tyr Met Phe		
195	200	205
Arg Met Gly Thr Pro Asp Pro Glu Tyr Pro Asp Asp Tyr Ser Gln Gly		
210	215	220
Gly Thr Arg Leu Asp Gly Lys Asn Leu Val Gln Glu Trp Leu Ala Lys		
225	230	235
Arg Gln Gly Ala Arg Tyr Val Trp Asn Arg Thr Glu Leu Met Gln Ala		
245	250	255
Ser Leu Asp Pro Ser Val Thr His Leu Met Gly Leu Phe Glu Pro Gly		
260	265	270
Asp Met Lys Tyr Glu Ile His Arg Asp Ser Thr Leu Asp Pro Ser Leu		
275	280	285
Met Glu Met Thr Glu Ala Ala Leu Arg Leu Leu Ser Arg Asn Pro Arg		
290	295	300
Gly Phe Phe Leu Phe Val Glu Gly Gly Arg Ile Asp His Gly His His		
305	310	315
Glu Ser Arg Ala Tyr Arg Ala Leu Thr Glu Thr Ile Met Phe Asp Asp		
325	330	335
Ala Ile Glu Arg Ala Gly Gln Leu Thr Ser Glu Glu Asp Thr Leu Ser		
340	345	350
Leu Val Thr Ala Asp His Ser His Val Phe Ser Phe Gly Gly Tyr Pro		
355	360	365
Leu Arg Gly Ser Ser Ile Phe Gly Leu Ala Pro Gly Lys Ala Arg Asp		
370	375	380
Arg Lys Ala Tyr Thr Val Leu Leu Tyr Gly Asn Gly Pro Gly Tyr Val		
385	390	395
Leu Lys Asp Gly Ala Arg Pro Asp Val Thr Glu Ser Glu Ser Gly Ser		
405	410	415
Pro Glu Tyr Arg Gln Gln Ser Ala Val Pro Leu Asp Glu Glu Thr His		
420	425	430
Ala Gly Glu Asp Val Ala Val Phe Ala Arg Gly Pro Gln Ala His Leu		
435	440	445
Val His Gly Val Gln Glu Gln Thr Phe Ile Ala His Val Met Ala Phe		
450	455	460
Ala Ala Cys Leu Glu Pro Tyr Thr Ala Cys Asp Leu Ala Pro Pro Ala		
465	470	475
Gly Thr Thr Asp		
<210> 6		

<211> 1869

<212> DNA

<213> Homo sapiens

<400> 6

ctgcaggagt ccggaggagg actggtgcaa gctggcggtt ccctgagact cagctgcgtc 60
gccagcggca ggacattttag cagccacccc atgggctgg tcaaggcaggc ccccgaaag 120
gaaaggaggt tcgtcgccgg aattagctgg tccggcggtt gcacacacta cgccgattcc 180
gtgaaggggca gattcaccat ctccaggac accgccaaga acacagtcta cctccagatg 240
aactccctca agcctgagga cacagccgtg tactactgca acgctgctt gtccgagagg 300
acacctatcg ccaccatgcc cagccagttt gactactggg gccaggcac ccaggtcacc 360
gtgtccctctt cagggttgtt cgggttcaggc ggaggtggct ctggcggtt cggatcgatc 420
atccctgtgg aagaggagaa ccccgacttt tggaacaggg aagccgctga agccctggc 480
gctgctaaga agctacagcc cgccccagacc gctgctaaaa acctgatcat ctttctggc 540
gatggcatgg gcgtctccac cgtgaccgct gccaggatcc tgaaaggcca gaagaaggac 600
aagctgggcc ccgagatccc tctggccatg gacaggttcc cttacgtggc tctgaggaag 660
acctacaacg tggacaagca tgtccctgat agcggcgcca ccgttacagc ttacactgtgc 720
ggcgtcaaag gcaatttcca gaccatggc ctgagcgccg ccgttaggtt caaccagtgc 780
aacaccaccc ggggaaacga ggtgattagc gtcatgaacc gggccaagaa ggccggcaag 840
agcgtgggag tcgtgaccac cacaagggtt cagcatgta gccctggccgg cacatacgcc 900
cataccgtca atcggaaactg gtactccgtt gccgacgtcc ctgcttccgc caggcaggaa 960
ggatgtcagg acattgccac ccagctgate tccaacatgg acatcgacgt gatcctggc 1020
ggcggcagga agtacatgtt caggatgggacc acccccgacc ccgagtaccc tgatgattat 1080
tcccagggcg gcacccggct ggatggcaag aatctggtgc aggagtggct ggccaagagg 1140
cagggagctc ggtacgtgtt gaaccggacc gagctgatgc aggccagctt ggatcccagc 1200
gtgaccatc tcatgggcct gttcgagccc ggcgatatga agtacgagat ccatcggtt 1260
agcacactcg acccttcctt gatggagatg accgaagctg ctctgaggct gctgtccgg 1320
aatcccaggg gcttcttctt gttcggtt ggcggccggta ttgatcacgg acaccacgag 1380
tccagggcctt acagggccctt gaccgaaacc atcatgtttt acgacgccc catcgaggct 1440
ggccagctga ccagcgaaga agacaccctg tccctcgatg ccggcgtatca ctcccacgtg 1500
ttctcctcg gaggctatcc cctcggttcc tccagcatct ttggactggc tcctggcaag 1560
gccagggacc ggaaggccta taccgtgtt ctgtacggca acggccccgg ctacgtgtt 1620
aaggatggcg ctcggcctt gttcgaccgag agcgagagcg gctccccggat atacaggcag 1680
cagagcggccg tgccccctcgatg tgaggagacc catgcccggcg aggatgtcg tgcaggaaac 1740
cggggacctc aggcccatctt ggtgcgttgc gtcaggaaac agacctttat cgctcacgtg 1800
atggcttctt ggcgttgcctt cgagccttaccgcgtt gctggcccc tcctgtggaa 1860
acaacagac 1869

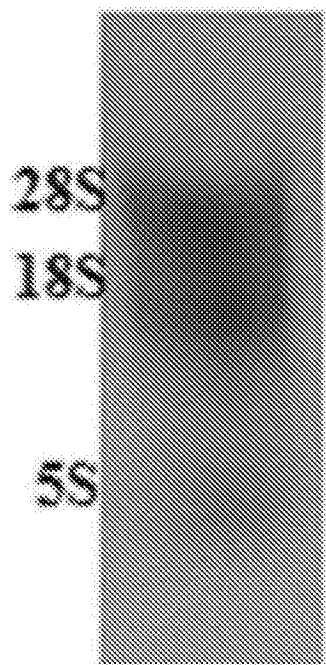


图1

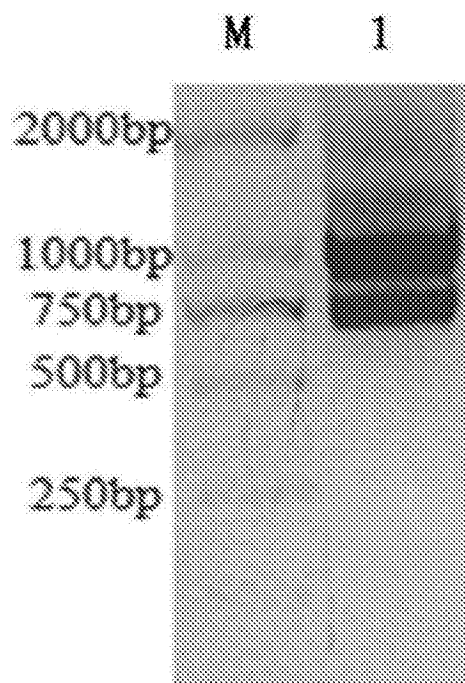


图2

1 M

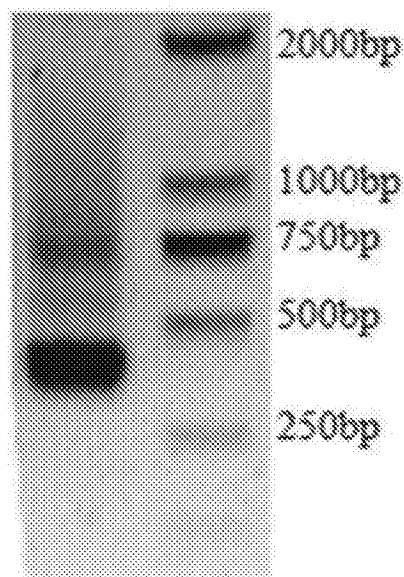


图3

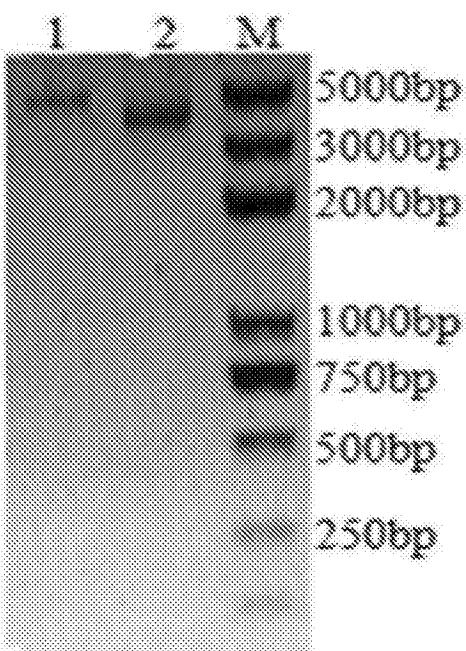


图4

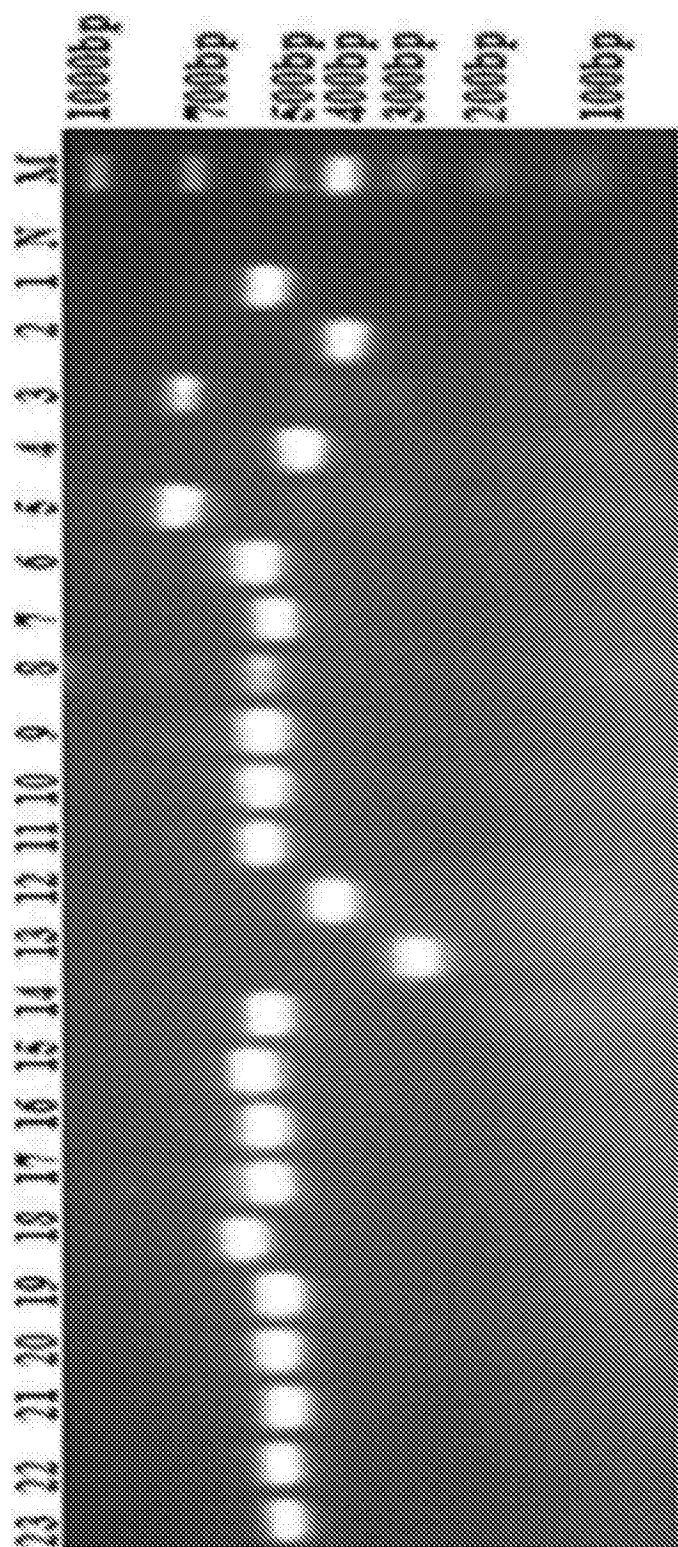


图5

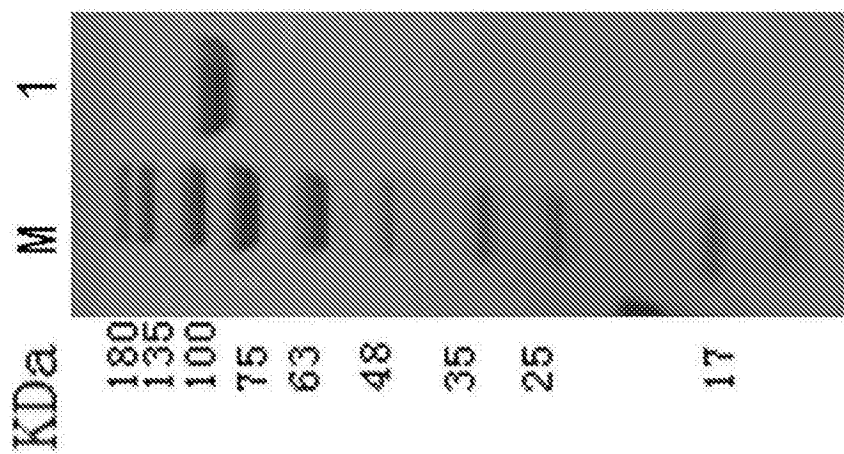


图6

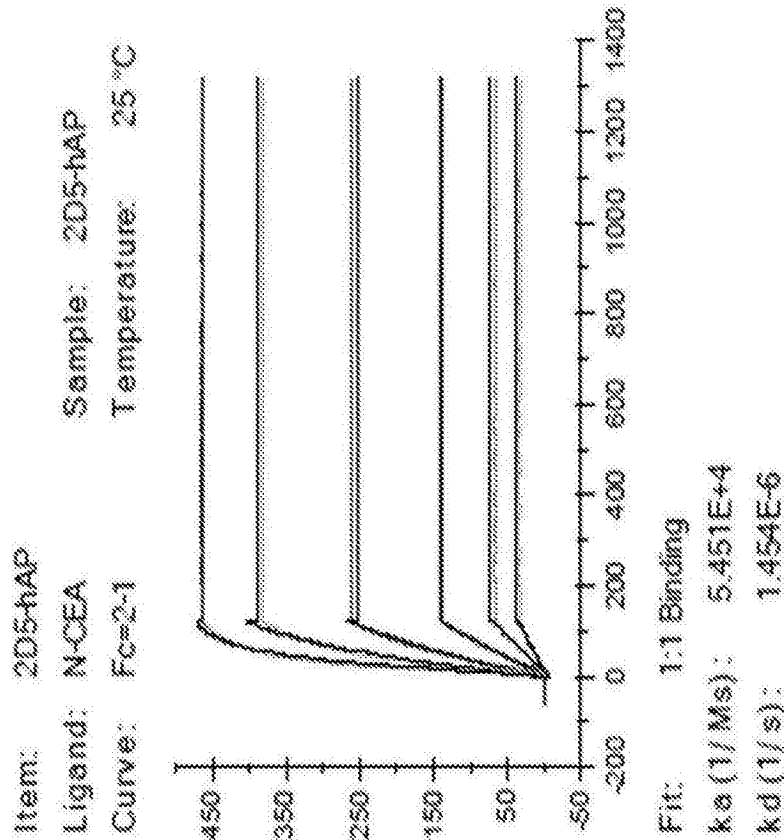


图7

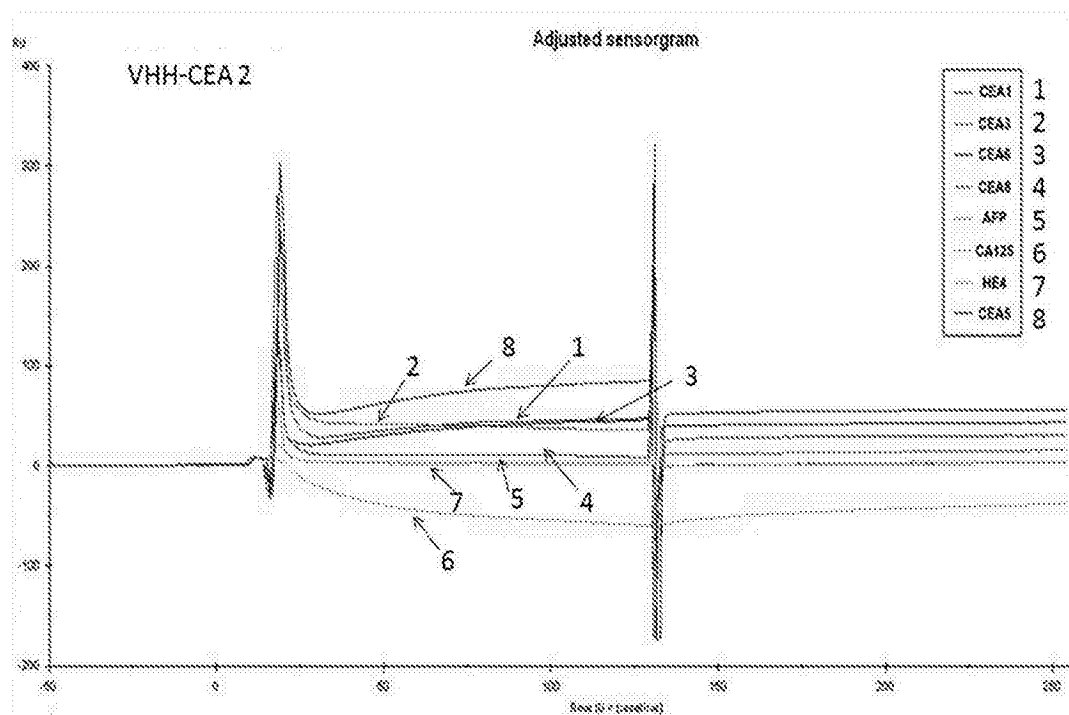
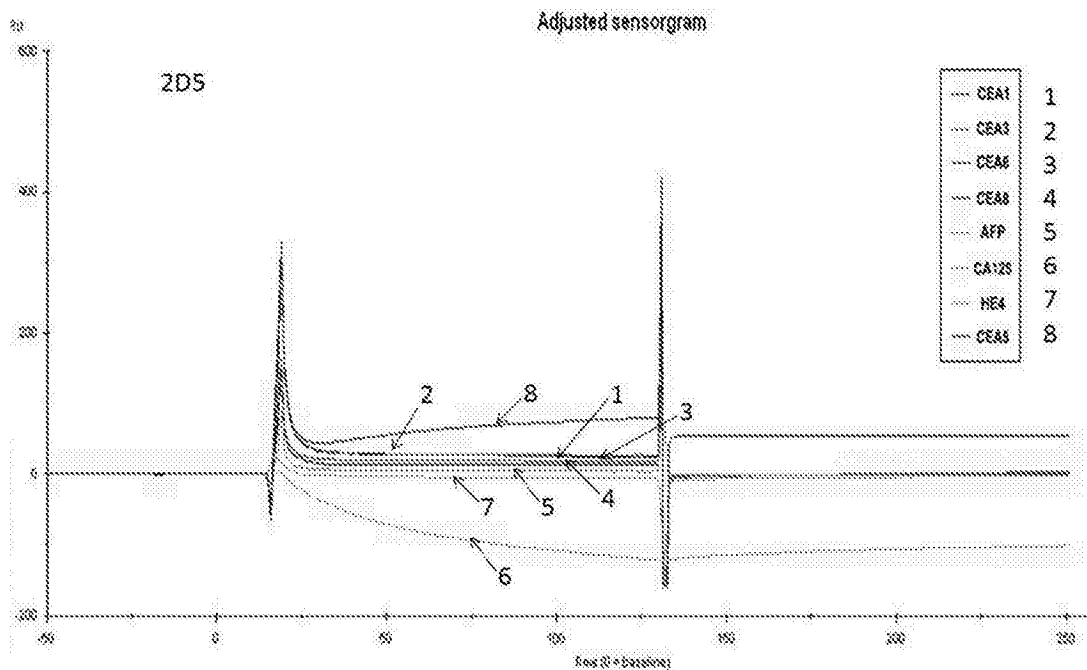


图8

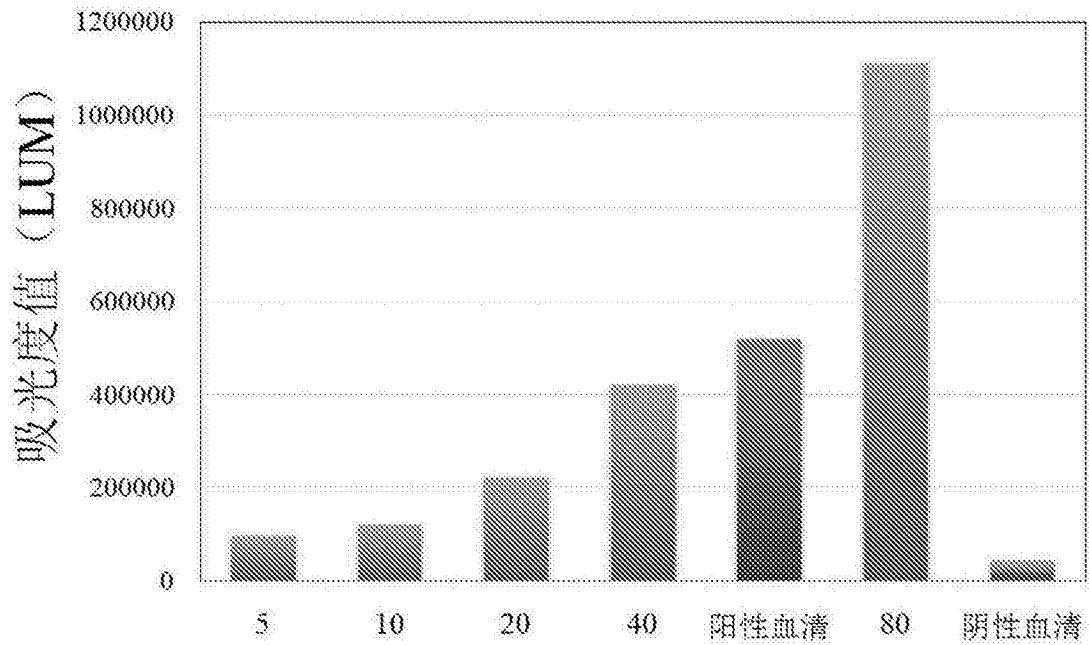


图9